

## I-25 厚岸大橋地盤における強震記録の解析について

北 大 正 員 芳 研 仁  
北 海 學 園 大 正 員 ○ 早 川 寛 志  
苦 高 専 正 員 中 辻 隆

**1. まえがき** 北海道東部の厚岸大橋地盤の地表と地中 (-25M, -47M, -68M)において、昭和47年以来強震観測が続いているが、これまでに昭和48年6月17日の根室半島沖地震を含めいくつかの地震波形が記録されている。前回、そして前回それまで地表および地中記録について報告したが、今回はその後に得られた記録をも含めて地表および基盤 (-68M) の振動数特性と地盤の増幅度特性について報告したい。

**2. これまでに得られた強震記録**

表-1に強震計設置以来記録され、既に数字化された強震記録の一覧を示す。最大加速度の欄が空白となっているのは地震時の停電等の事故により波形が記録されなかつた事である。これまでに記録された最大加速度は根室半島沖地震時に橋軸直角方向で得られた 136 gal である。Mag. が 7 を超えた大規模地震は根室半島沖 (震央 6月17日, 余震 6月24日) とエトロフ沖地震であり、その他は中規模地震である。図-1は各地震の震央分布である。なお、設置されている強震計は、地表が SHAC-E ( $f_0=20\text{ Hz}$ ,  $h=0.6$ ), 地中が動電型 ( $f_0=7.5\text{ Hz}$ ,  $h=15$ ) である。

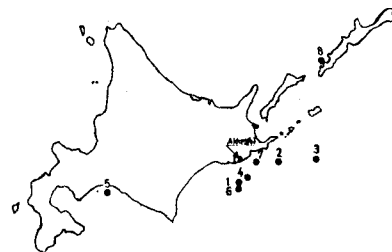


図-1 震央分布

No.	年月日	Mag.	震源地	北緯	東経	深度	震央距離 km	地表 km	最大 加速度 (gal)		
									-25M	-47M	-68M
1	S47. 5.11	5.8	釧路沖	42° 36'	144° 56'	60	46		42, 19	36, 21	23, 17
2	S48. 6.17	7.4	根室半島沖	42° 58'	145° 57'	40	88	136, 100			
3	S48. 6.24	7.1	"	42° 57'	146° 45'	30	152	74, 77			
4	S49. 9.20	5.5	釧路沖	42° 41'	145° 06'	50	42	41, 25	15, 7	19, 8	12, 7
5	S49. 11.09	6.5	苦小牧沖	42° 29'	141° 47'	130	254	19, 24			
6	S53. 5.24	5.5	釧路沖	42° 30'	144° 52'	70	56	38, 16	9, 7	, 12	, 8
7	S53. 6.14	5.0	根室半島南東沖	42° 58'	145° 23'	40	46	12, 13	6, 4	5,	4, 4
8	S53. 12.07	7.7	エトロフ沖	44° 44'	146° 58'	100	250	57, 57	18, 17	21, 13	8, 14

表-1 これまでに観測された強震記録

(\* 最大加速度 橋軸直角方向の値と、橋軸方向の値を示す。)

**3 地表記録の振動特性**

図-3は、Mag. あるいは震央距離と応答スペクトルとの関係を検討するため求めた、地表で観測された地震記録の加速度応答スペクトルである。

(1)と(2)の図は震央距離との関係を調べるために Mag. が 7 を超える 3 つの地震 2., 3., 8. (No. 2., 3., 8.) について橋軸直角方向と橋軸方向の記録のスペクトルである。それらの地震の震央距離は表-1 に示す通りである。No. 2 と No. 3 の応答曲線が比較的似ているが、これは、ともに同じ地震の本震と余震であるためと思われる。一般的には、震央距離の差異は、短周期領域にて顕著であると言われているが、(1)とのの図からはこの傾向を読み取る事は出

来ない。図3-(3)と(4)はMag.の影響を調べるために、震央距離のほぼ等しいN05とN08について計算したものである。長周期領域において、震央距離の差異がそれ程大きな応答値の変化をもたらさないのに比し、Mag.の差異は比較的大きな変化をもたらす傾向にある。

図3-(5)と(6)は加速度応答スペクトルの予測式(文献(1))との比較である。それ故に、N02とN03の地震についての比較であるが、ともに予測式より大きな応答値となっている。フーリエスペクトルにおいて、N02では約1秒、N03では0.2~0.3秒と約1秒の卓越周期をもつが、応答スペクトルにおいても、これらの卓越周期付近で予測式より大きな応答値となる。しかしながら、予測値との比の値を計算してみると、N02では、橋軸および直角方向において平均2.25と2.12であり、N03でもそれを2.11と1.75であり、必ずしも過大であるとは言えない。(文献(1)によると超過確率10%における20%に対する比の値は2.44と1.79である。)

図3において、橋軸方向と直角方向の応答スペクトルがMag.あるいは震央距離の大きさに拘めらずほぼ同様な周波数特性を示している事もわかる。

#### 4 基盤記録の振動数特性

図4は、支持基盤層内の-68M地点で観測された記録から求めたフーリエスペクトル図である。但し、スペクトルの最大値で正规化している。図4-(1)は、中規模地震であるN01、N04とN07について(2)は大規模地震であるN08について求めたものである。この図において、約2.5Hz(0.3sec)あるいは約2Hz(0.5sec)付近での卓越性が共通している。この値は、地表で観測された記録に最もあらわれている約1Hzに比し、大きい(短周期)

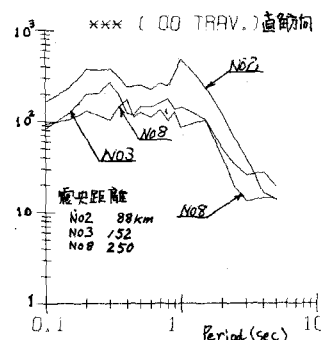


図3-(1)

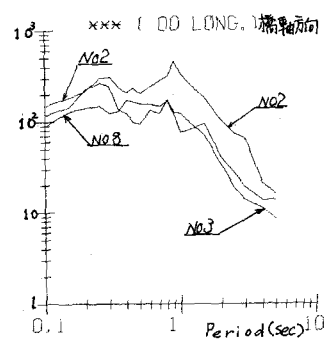


図3-(2)

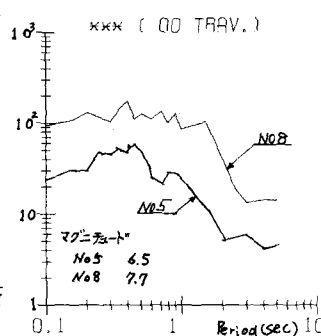


図3-(3)

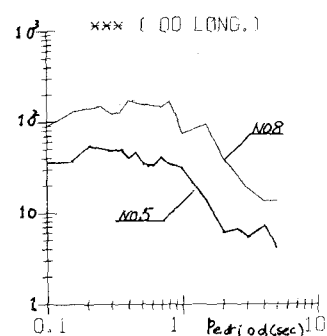


図3-(4)

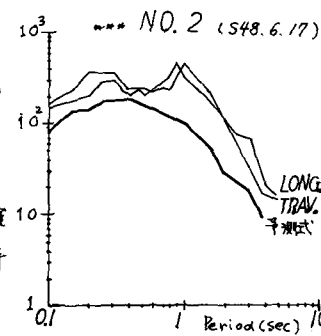


図3-(5)

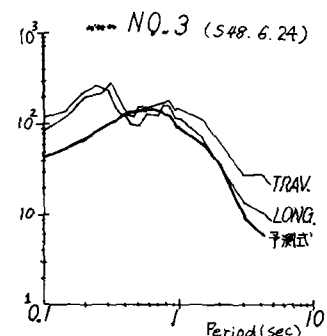


図3-(6)

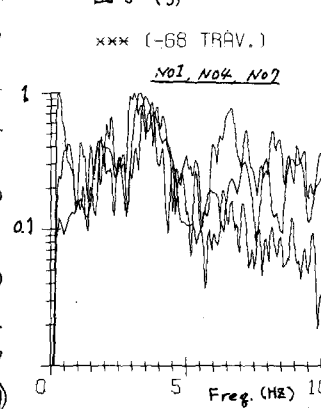


図4-(1)

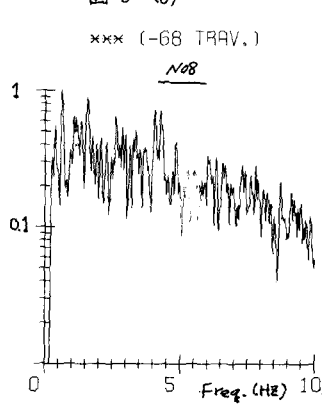


図4-(2)

が、これは基盤(泥岩)と地表との地盤特性の違いを表めしている。(1)にみりて高周波数成分が少しき減衰する事なく残留するのが見られるのに対し、(2)においては、顕著な卓越成分は見られず、高周波数にはるに減衰している。これは、No.8の地盤のMag.が大きくしかも震央距離が大きいために高周波数成分が減衰したものと思われる。これらの傾向は、橋軸方向の記録においても同様である。

## 5 地盤の伝達特性

(1). 増幅度スペクトル 地震計の設置されている地盤は軟弱地盤(道路橋耐震設計指針による分類では第Ⅳ種地盤)であり、-60m以深にその支持層(泥岩)を有している。地盤の伝達特性を検討するために図-5に基盤に対する増幅度スペクトルを示した。即ち、No.1, No.4, No.8の地震記録について、地表、-25m、そして-47m地点の Fourierスペクトルと-68m地点の Fourierスペクトルの比を算出したものである。

図5-(1)を見ると、0.9Hz, 1.5Hz, あるいは2.5Hz付近での増幅が共通して見られるが、地中でのスペクトルに比し、各地震による差異があらわれている。即ちNo.8の地震は、No.4に比べ、Mag.が大きくしかも震央距離も大きいために比較的低周波数(長周期)領域での増幅が認められる。地中深くなるにつれ、各地震波の差異による変化が小さくなり、しかも増加される振動数成分が高周波数領域となり、いる。しかし、増幅の大きさとは地表のそれに比し小さい。

図5-(2)において、0.8Hz付近での増幅が認められるが、これはこの地点での地盤(軟弱粘土)の特性を表めしているものと思われる。

図-5では、直角方向のみのスペクトルを示したが、橋軸方向においても同様の傾向が示されている。

## (2). 重複反射理論による解析との比較

地盤の伝達特性の理論的解析の有用性を評価するために、S波の重複反射理論との比較を行なった。図-6ではNo.1の地震について-68m地点での記録波を入射波として、-47mと-25m地点での加速度、速度および変位のFourierスペクトルを求めそれらを実測値と比較したものである。図-6は地盤の柱状図であり、表-2は用いた地盤の常数である。ここで $\alpha$ および $\beta$ の値はボーリング調査結果から得られたN値を参考に推定された値を初期値として、解析段階にについて、地震時に生じるひずみの大きさにより修正さ

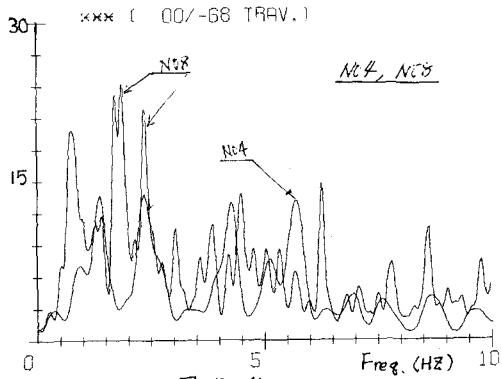


図 5-(1)  
\*\*\* (-68/-68 TRAV.)



No.1, No.4, No.8  
\*\*\* (-47/-68 TRAV.)

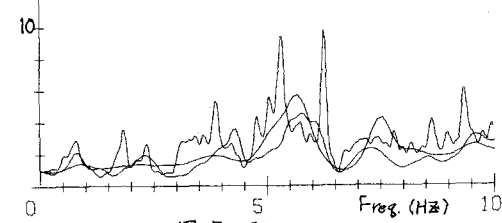


図 5-(2)  
\*\*\* (-25/-68 TRAV.)



No.1, No.4, No.8  
\*\*\* (-47/-68 TRAV.)

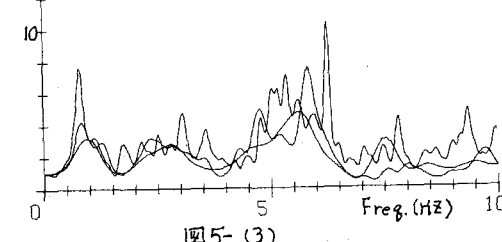


図 5-(3)

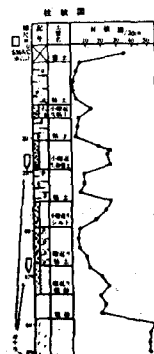


図-6

層 No.	層厚	$G_{68-25}$	$\eta_b$
1	3m	350 m/s	0.03
2	10	80 "	0.06
3	3	450 "	0.03
4	5	200 "	0.04
5	4	400 "	0.02
6	2	1500 "	0.01
7	7	850 "	0.03
8	5	2100 "	0.02
9	8	1200 "	0.03
10	12	2400 "	0.02
11	9	1500 m/s	0.0
12	∞	"	0.0

表-2

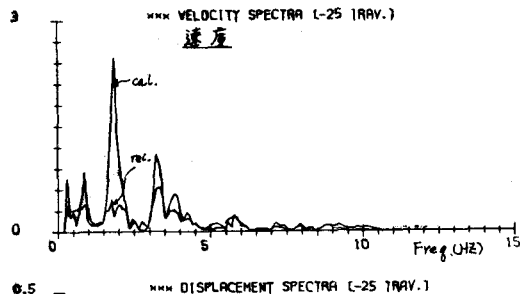
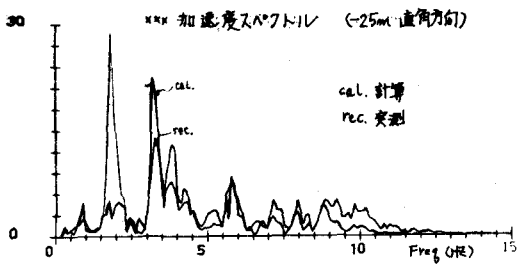


図-7(1) (-25M)

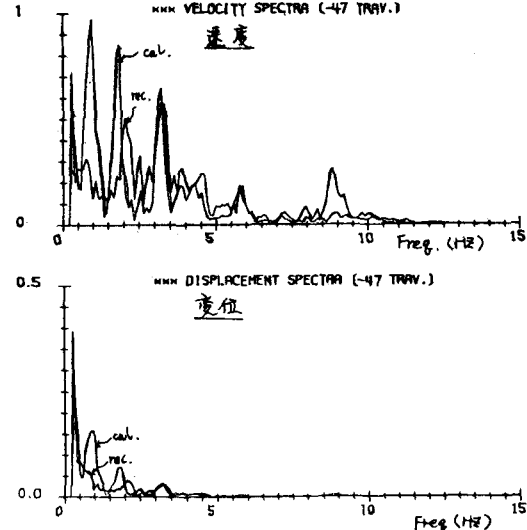
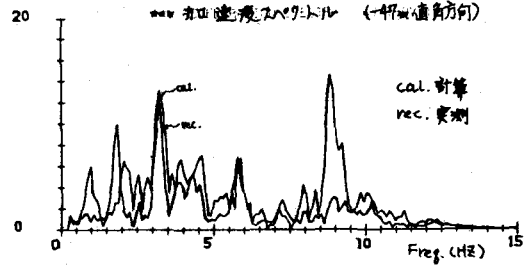


図-7(2) (-47M)

れていく。図-7において、-25Mでは2Hz付近で、-47M地盤では1Hzと9Hz付近でスペクトルの大きさに違いが見られるが、計算値と実測とが比較的よく近似したスペクトルを示している。スペクトルの差異は主に、実際の地層が仮定とは違って水平ではない事、N値からGmaxの値を決定するには大きな誤差を含む事、あるいは実際の地震波はSH波のみではない事に原因があると思われる。

## 6. あとがき

統計的な議論をするには、必ずしもデータ数が十分ではないが、これまでに厚岸大橋地盤で観測された強震記録をもとに分析を行ない、地表、基盤あるいは地盤の周波数特性について、いくつかの興味深い結果を求める事が出来た。今後、記録データの集積を重ねてこれらの特性をより明確にするとともに、表面波成分の抽出、評価あるいは地盤の伝達特性の基礎的且分析等々の問題を検討してやさしい。最後に重複反射理論による解析に関する計算機プログラムを提供して下さいまして北大土木工学科上級卒業研究に感謝いたします。

参考文献

- (1) 片山・岩崎・佐伯；地盤動加速度応答スペクトルの統計解析、土木学会論文報告集、第275号、1978年7月
- (2) 岩崎・川島・高木；地盤応答スペクトルの統計解析、土木技術資料 21-8、1979年
- (3) KANAI ; Relation between the Nature of Surface Layer and the Amplitudes of Earthquake Motions, I~IV, BERI vol 30, vol 31, vol 34
- (4) KANAI ; Comparative Studies of Earthquake Motions on the Ground and Underground, I, II, BERI, vol 37, vol 44
- (5) Schnabel, et al; SHAKE : A computer program for earthquake response analysis of horizontally layered sites, Univ. of Cal., EERC 72-12
- (6) 芳村・早川, et al; 厚岸大橋地盤における強震記録の解析について、地盤・構造・機械学術論文報告集、第34号、第35号
- (7) 石原；土質動力学の基礎、鹿島出版会、1976年
- (8) 大崎；地盤動のスペクトル解析入門、鹿島出版会、1976年